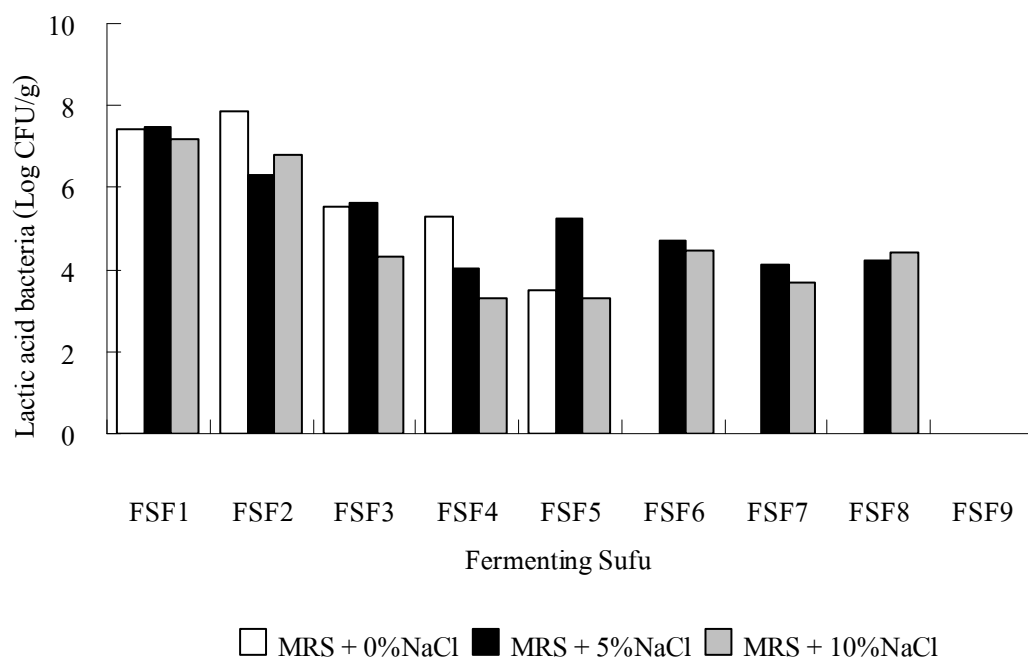


## บทที่ 3

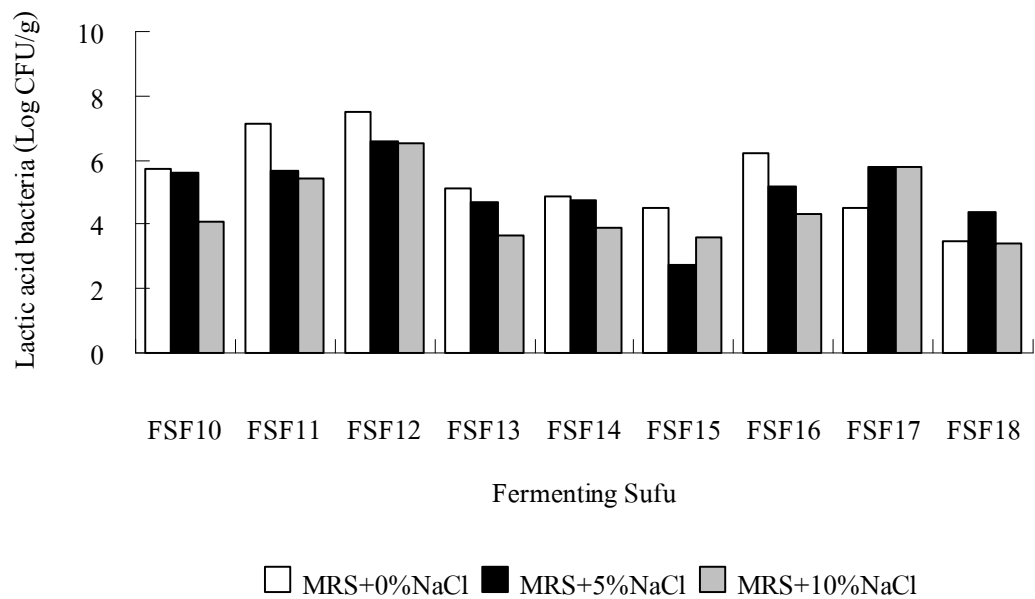
### ผลการทดลอง

#### 1. การตรวจหาปริมาณแบคทีเรียแกลกติกที่แยกจากตัวอย่างเต้าหู้ยี้

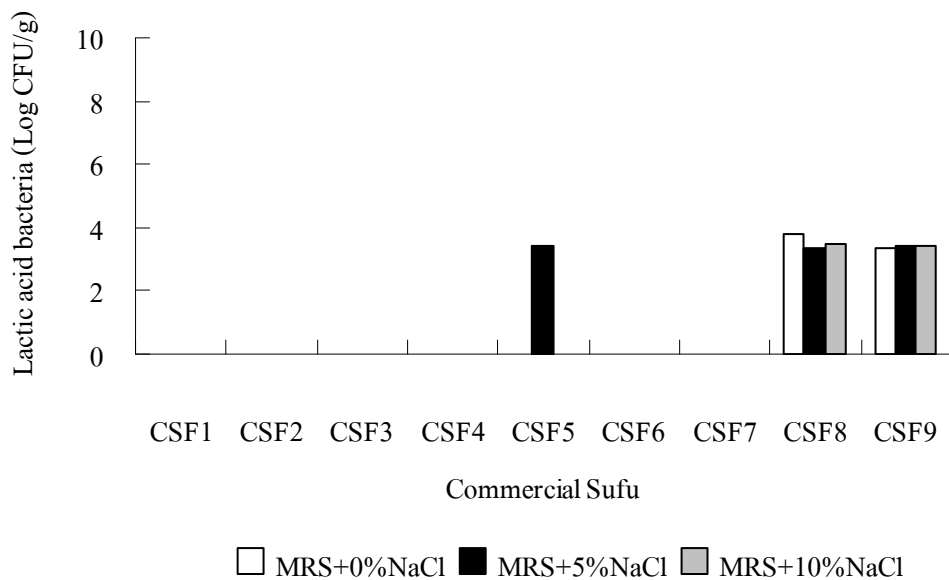
การตรวจหาปริมาณแบคทีเรียแกลกติกทั้งหมดที่แยกได้จากตัวอย่างเต้าหู้ยี้ในกระบวนการหมัก บนอาหาร MRS agar ที่เติม 5 mg% sodium azide, 0.04% bromocresol purple และเติมเกลือ 0%, 5% และ 10% (รูปที่ 6) พบว่าแบคทีเรียแกลกติกมีปริมาณระหว่าง  $3.0 \times 10^3$  ถึง  $7.0 \times 10^7$  CFU/g,  $1.1 \times 10^4$  ถึง  $3.0 \times 10^7$  CFU /กรัม และ  $1.9 \times 10^3$  ถึง  $1.5 \times 10^7$  CFU/g ตามลำดับ โดยบนอาหาร MRS + 0% NaCl มีเชื้อเริ่มต้น  $2.7 \times 10^7$  CFU/g แล้วเพิ่มขึ้นสูงสุด  $7.0 \times 10^7$  CFU/g ในเดือนที่ 2 และลดลงเรื่อยๆจนถึงเดือนที่ 5 แล้วไม่พบแบคทีเรียแกลกติก ส่วนอาหาร MRS + 5% NaCl มีจำนวนเชื้อเริ่มต้น  $3.0 \times 10^7$  CFU/g แล้วลดลงจนกระทั่งถึงเดือนที่ 8 ส่วนบนอาหาร MRS+ 10% NaCl มีจำนวนเชื้อเริ่มต้น  $1.5 \times 10^7$  CFU/g แล้วลดลงจนกระทั่งถึงเดือนที่ 8 เช่นกัน ในเดือนที่ 9 ตรวจไม่พบแบคทีเรียแกลกติก ส่วนในถังหมักอื่นๆ (รูปที่ 7) พบแบคทีเรียแกลกติกมีปริมาณใกล้เคียงกับถังหมักที่ทำการศึกษาในครั้งนี้ แต่พบแบคทีเรียแกลกติกปริมาณระหว่าง  $2.9 \times 10^3$  ถึง  $1.7 \times 10^6$  CFU/g บนอาหาร MRS agar + 0% NaCl ในถังหมักเดือนที่ 6 (FSF15), 7 (FSF16), 8 (FSF17) และ 9 (FSF18) ส่วนตัวอย่างเต้าหู้ยี้สำเร็จรูป (รูปที่ 8) พบแบคทีเรียแกลกติกถึง 3 ตัวอย่าง ได้แก่ CSF5, CSF8 และ CSF9 โดยมีปริมาณแบคทีเรียแกลกติก  $2.5 \times 10^3$ ,  $3.0 \times 10^3$  ถึง  $6.2 \times 10^3$  และ  $2.4 \times 10^3$  ถึง  $2.6 \times 10^3$  CFU/g ตามลำดับ ซึ่งเป็นเต้าหู้ยี้เหลืองผลิตจากประเทศไทย ให้หัวน้ำและประเทศ Jin ส่วนการตรวจวัดความเป็นกรดค้าง (pH) ของตัวอย่างเต้าหู้ยี้ (รูปที่ 9) พบว่า เต้าหู้ยี้ในกระบวนการหมักมี pH เริ่มต้น 4.93 แล้วลดลงเรื่อยๆ จนกระทั่งสิ้นสุดกระบวนการหมักมี pH 4.59 แต่ในกรณีเต้าหู้ยี้สำเร็จรูปมี pH 4.85 ทั้งนี้เนื่องจากมีการเติมส่วนผสมอื่นๆ ก่อนการบรรจุขวดนั่งผ่าเชื้อ



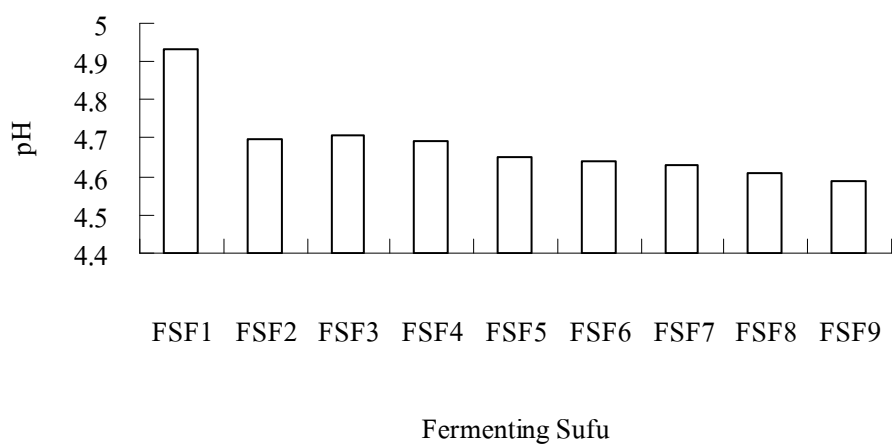
รูปที่ 6 ปริมาณแบคทีเรียแลกติกในกระบวนการหมักเต้าหู้ขึ้นจากถังหมักเดียวทันที่เพาะเลี้ยงบน MRS agar ที่เติมเกลือความเข้มข้นต่างๆ กัน บ่มที่อุณหภูมิ 35 °C เป็นเวลา 3-5 วัน FSF1 (1 เดือน), FSF2 (2 เดือน), FSF3 (3 เดือน), FSF4 (4 เดือน), FSF5 (5 เดือน), FSF6 (6 เดือน), FSF7 (7 เดือน), FSF8 (8 เดือน) และ FSF9 (9 เดือน)



รูปที่ 7 ปริมาณแบคทีเรียแลกติกในกระบวนการหมักเต้าหู้ยี้จากถังหมักต่างๆ กัน ที่เพาะเลี้ยงบน MRS agar ที่เติมเกลือความเข้มข้นต่างๆ กัน บ่มที่อุณหภูมิ 35°C เป็นเวลา 3-5 วัน FSF10 (1 เดือน), FSF11 (2 เดือน), FSF12 (3 เดือน), FSF13 (4 เดือน), FSF14 (5 เดือน), FSF15 (6 เดือน), FSF16 (7 เดือน), FSF17 (8 เดือน) และ FSF18 (9 เดือน)



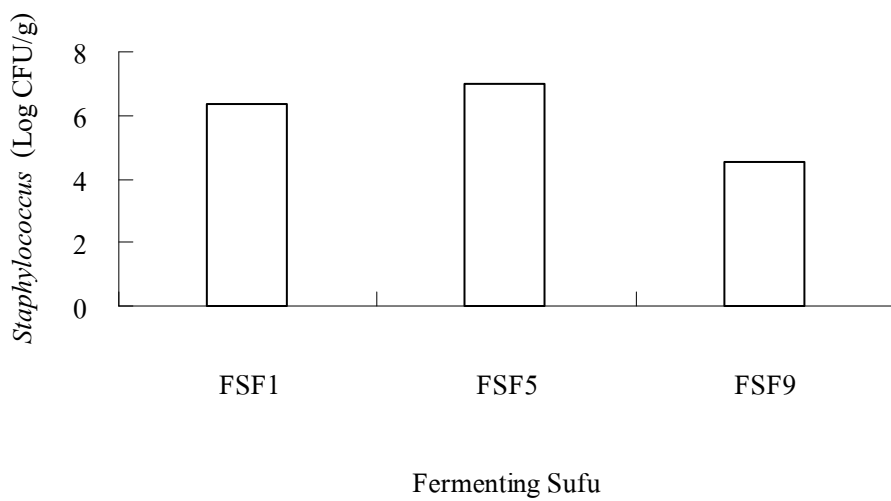
รูปที่ 8 ปริมาณแบคทีเรียแลกติกในตัวอย่างเต้าหู้ยี้สำเร็จรูปที่เพาะเลี้ยงบน MRS agar ที่เติมเกลือความเข้มข้นต่างๆ กัน บ่มที่อุณหภูมิ 35°C เป็นเวลา 3-5 วัน CSF1 (เต้าหู้ยี้เหลือง อ. เมือง จ. สงขลา), CSF2 (เต้าหู้ยี้แดง ตราเด็กปั่น ก. สมุทรสาคร), CSF3 (เต้าหู้ยี้แดง จีน), CSF4 (เต้าหู้ยี้แดง กรุงเทพมหานคร), CSF5 (เต้าหู้ยี้เหลือง ไถ่หวัน), CSF6 (เต้าหู้ยี้เหลือง จีน), CSF7 (เต้าหู้ยี้แดง จีน), CSF8 (เต้าหู้ยี้เหลือง ตรา New sun จีน) และ CSF9 (เต้าหู้ยี้เหลือง ไถ่หวัน)



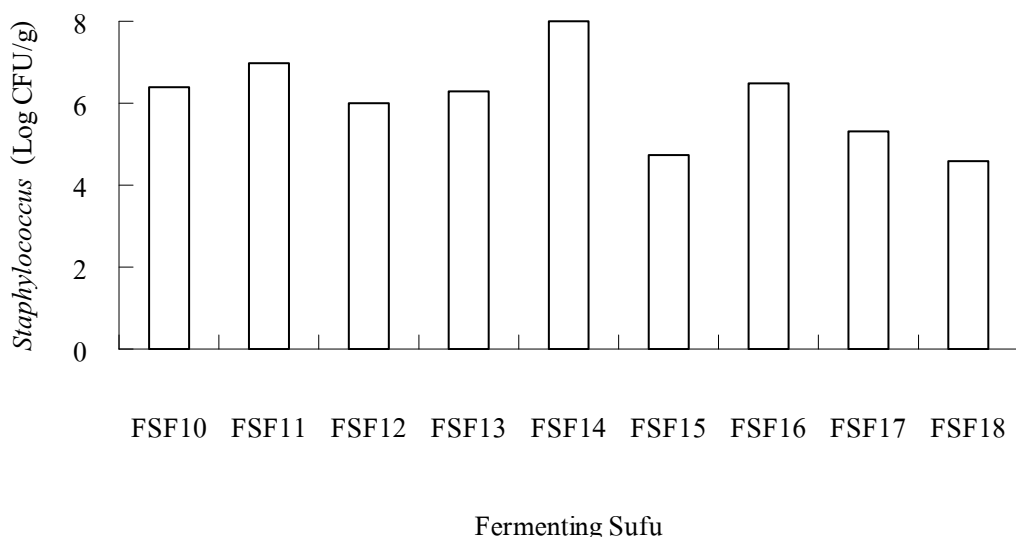
รูปที่ 9 การเปลี่ยนแปลงของความเป็นกรดด่าง (pH) ของตัวอย่างเต้าหู้ยี้ ตั้งแต่เริ่มต้นกระบวนการหมักจนกระทั่งถึงสุดกระบวนการหมัก

## 2. การตรวจหาแบคทีเรียที่อาจก่อโรคในทางเดินอาหาร

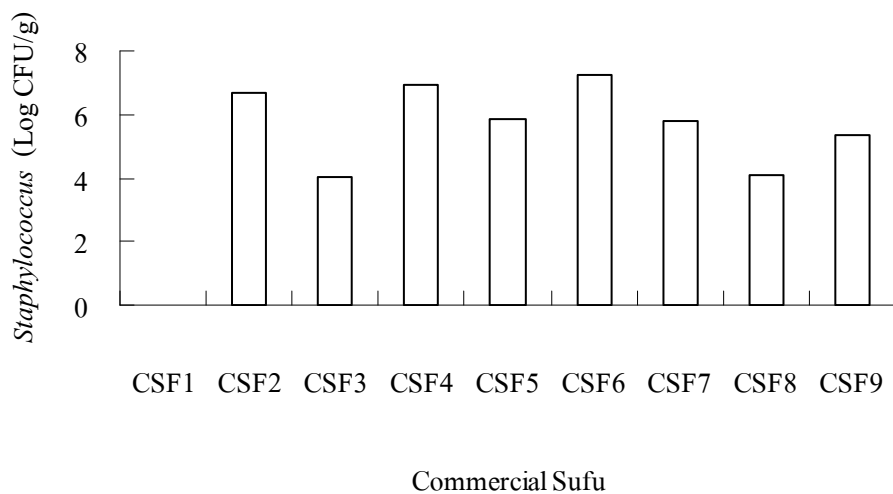
การตรวจหาเชื้อแบคทีเรียก่อโรคในทางเดินอาหารในตัวอย่างเต้าหู้ยี้พบว่าในกระบวนการการหมักตรวจไม่พบ faecal coliform บนอาหาร MacConkey agar และพบว่า ไม่มีหลอดได้ให้กําชใน Durham tube (ไม่ได้แสดงข้อมูล) เมื่อตรวจยืนยันด้วยวิธี MPN method (presumptive and confirm test) แต่พบเชื้อ *Staphylococcus* บนอาหาร Mannitol Salt Agar (MSA) ที่ ferment mannitol จากตัวอย่างเต้าหู้ยี้ในกระบวนการการหมัก (รูปที่ 10) ซึ่งมีปริมาณระหว่าง  $3.3 \times 10^4$  ถึง  $1.1 \times 10^7$  CFU/g และตรวจพบเช่นเดียวกันกับตัวอย่างเต้าหู้ยี้ในถังหมักต่างๆ กัน (รูปที่ 11) โดยพบเชื้ออยู่ระหว่าง  $4.0 \times 10^4$  ถึง  $1.1 \times 10^8$  CFU/g และตัวอย่างเต้าหู้ยี้สำเร็จรูป (รูปที่ 12) ซึ่งตรวจพบเก็บทุกตัวอย่าง ยกเว้น CSF1 โดยมีปริมาณเชื้ออยู่ระหว่าง  $1.1 \times 10^4$  ถึง  $1.9 \times 10^7$  CFU/g และพบเชื้อ *Bacillus* บนอาหาร Mannitol Egg-Yolk Polymyxin agar (MYP) ที่สามารถผลิต lecithinase ย่อย egg yolk และทำให้เกิดความบุนรอนโคลโนนี และไม่ ferment mannitol ทำให้โคลโนนีลีซิมพู *Bacillus* ที่แยกได้จากตัวอย่างเต้าหู้ยี้ในกระบวนการการหมัก (รูปที่ 13) มีปริมาณอยู่ระหว่าง  $5.7 \times 10^3$  ถึง  $1.5 \times 10^6$  CFU/g ซึ่งพบตั้งแต่เริ่มต้นจนสิ้นสุดกระบวนการการหมัก และตรวจพบเช่นเดียวกันกับตัวอย่างเต้าหู้ยี้ในถังหมักต่างๆ กัน (รูปที่ 14) โดยพบเชื้ออยู่ระหว่าง  $2.0 \times 10^3$  ถึง  $1.5 \times 10^5$  CFU/g และตัวอย่างเต้าหู้ยี้สำเร็จรูป (รูปที่ 15) พนเชื้ออยู่ระหว่าง  $2.5 \times 10^4$  ถึง  $2.6 \times 10^6$  CFU/g และพบเชื้อแบคทีเรียแกรมบวกรูปแท่ง บนอาหาร Oxford agar ที่ให้โคลโนนีสีดำ เนื่องจากเชื้อแบคทีเรียที่สามารถย่อย esculin ในอาหารเกิด esculitin ซึ่งทำปฏิกิริยากับ ferric ion (ferric ammonium citrate) ให้เป็นโคลโนนีสีดำ ซึ่งในกระบวนการการหมักเต้าหู้ยี้ (รูปที่ 16) สามารถพนโคลโนนีสีดำบนอาหารนี้มีปริมาณระหว่าง  $1.1 \times 10^3$  ถึง  $1.0 \times 10^6$  CFU/g ส่วนตัวอย่างเต้าหู้ยี้ในถังหมักต่างๆ กัน (รูปที่ 17) พนโคลโนนีสีดำระหว่าง  $3.0 \times 10^3$  ถึง  $1.0 \times 10^6$  CFU/g และในเต้าหู้ยี้สำเร็จรูป (รูปที่ 18) พนโคลโนนีสีดำระหว่าง 0 ถึง  $1.4 \times 10^7$  CFU/g แต่ลักษณะโคลโนนีของเชื้อที่แยกได้ไม่ใช่ลักษณะเฉพาะของ *L. monocytogenes* บน Oxford agar ซึ่งมีขนาดเล็ก สีเทาดำ และมีบุ้มตรงกลางโคลโนนี เมื่อบ่มเกิน 48 ชม. และได้ทดสอบทางชีวเคมีของที่แยกได้ในเบื้องต้น พร้อมกับสายพันธุ์มาตรฐาน พนว่า เชื้อที่แยกได้ไม่ใช่เชื้อ *L. monocytogenes*



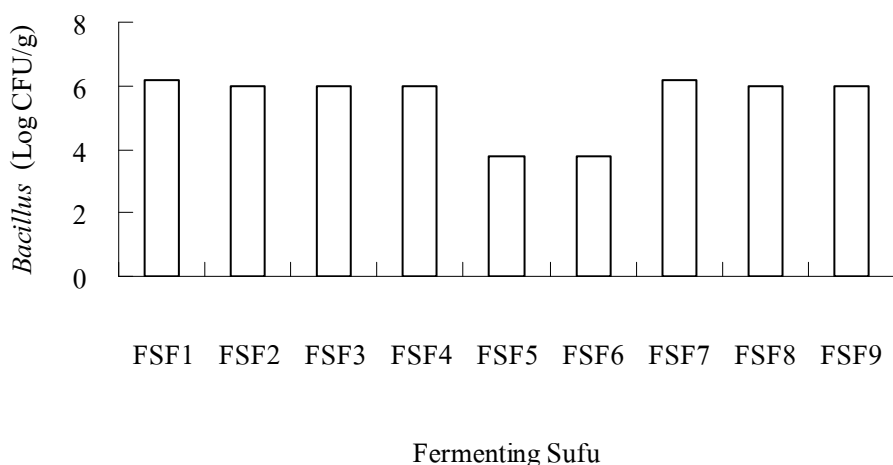
**รูปที่ 10** ปริมาณเชื้อ *Staphylococcus* ในกระบวนการหมักเต้าหู้ยี้ที่เพาะเลี้ยงบนอาหาร MSA บ่มที่ อุณหภูมิ  $35^{\circ}\text{C}$  เป็นเวลา 24-48 ชม. FSF1 (1 เดือน), FSF5 (5 เดือน) และ FSF9 (9 เดือน)



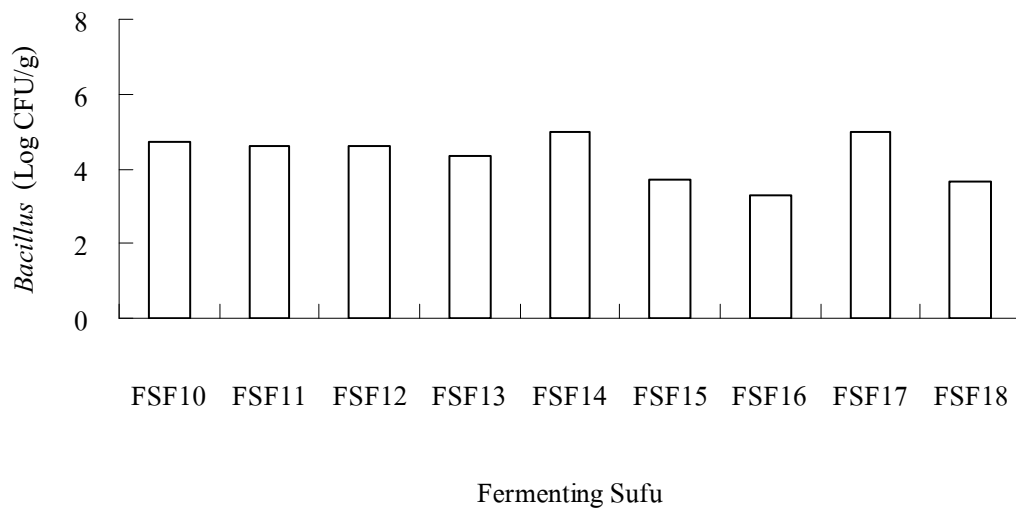
**รูปที่ 11** ปริมาณเชื้อ *Staphylococcus* ในกระบวนการหมักเต้าหู้ยี้จากถังหมักต่างๆ กันที่เพาะเลี้ยง บนอาหาร MSA บ่มที่อุณหภูมิ  $35^{\circ}\text{C}$  เป็นเวลา 24-48 ชม.



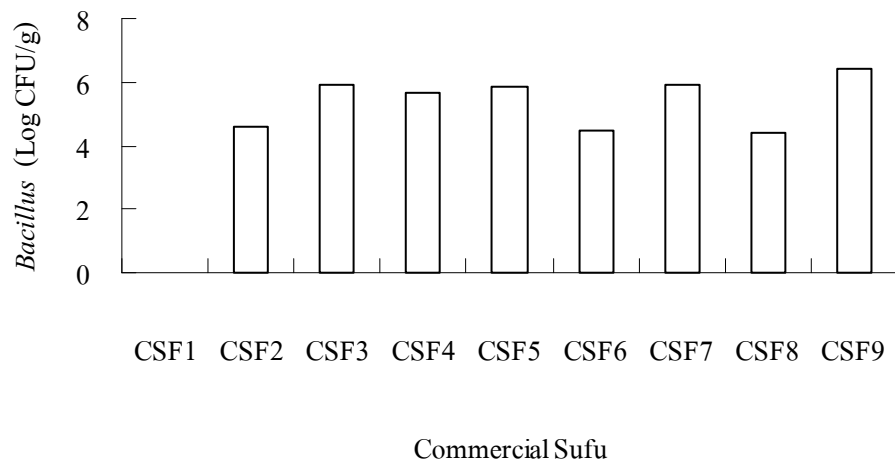
รูปที่ 12 ปริมาณ *Staphylococcus* ในตัวอย่างเต้าหู้ยำสำเร็จรูปที่เพาะเลี้ยงบนอาหาร MSA บ่มที่ อุณหภูมิ 35°C เป็นเวลา 24-48 ชม.



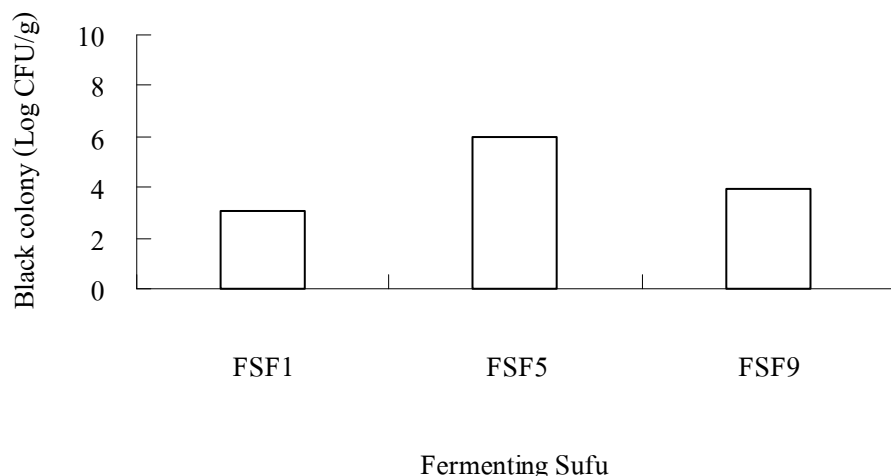
รูปที่ 13 ปริมาณเชื้อ *Bacillus* ในการบวบหมักเต้าหู้ยำที่เพาะเลี้ยงบนอาหาร MYP agar บ่มที่ อุณหภูมิ 35°C เป็นเวลา 24-48 ชม.



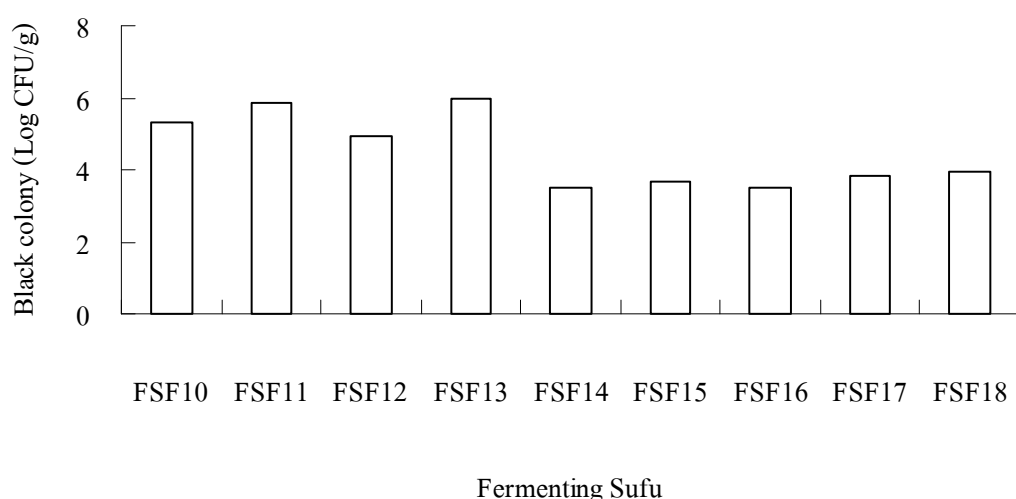
รูปที่ 14 ปริมาณเชื้อ *Bacillus* ในกระบวนการหมักเต้าหู้ขึ้นจากถังหมักต่างๆ กันที่เพาะเลี้ยงบนอาหาร MYP agar บ่มที่อุณหภูมิ  $35^{\circ}\text{C}$  เป็นเวลา 24-48 ชม.



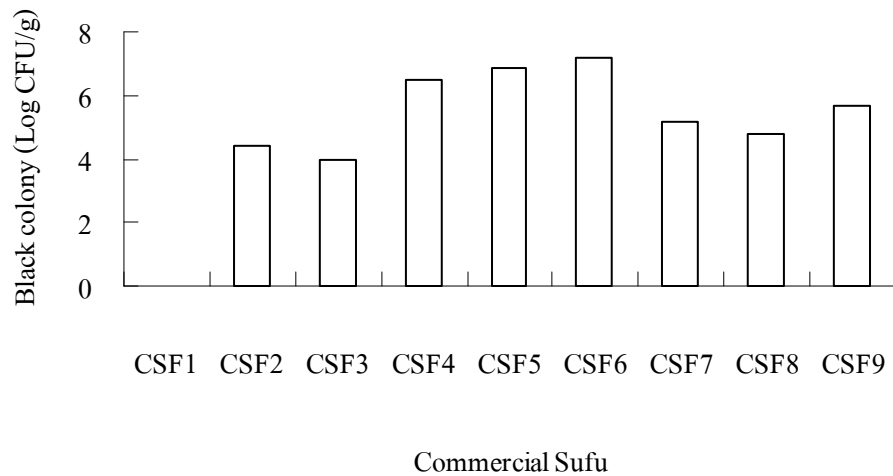
รูปที่ 15 ปริมาณ *Bacillus* ในตัวอย่างเต้าหู้ขึ้นสำเร็จรูปที่เพาะเลี้ยงบนอาหาร MYP agar ที่เติมเกลือความเข้มข้นต่างๆ กัน บ่มที่อุณหภูมิ  $35^{\circ}\text{C}$  เป็นเวลา 24-48 ชม.



รูปที่ 16 ปริมาณ Black colony ในกระบวนการหมักเต้าหู้ยี้ที่เพาะเลี้ยงบนอาหาร Oxford agar บ่มที่ อุณหภูมิ  $35^{\circ}\text{C}$  เป็นเวลา 24-48 ชม. FSF1 (1 เดือน), FSF5 (5 เดือน) และ FSF9 (9 เดือน)



รูปที่ 17 ปริมาณ Black colony ในกระบวนการหมักเต้าหู้ยี้จากถังหมักต่างๆ กันที่เพาะเลี้ยงบน อาหาร Oxford agar บ่มที่อุณหภูมิ  $35^{\circ}\text{C}$  เป็นเวลา 24-48 ชม.



รูปที่ 18 ปริมาณ Black colony ในตัวอย่างเต้าหู้ยำสำเร็จรูปที่เพาะเลี้ยงบนอาหาร Oxford agar ปั่นที่ อุณหภูมิ  $35^{\circ}\text{C}$  เป็นเวลา 24-48 ชม.

### 3. การเติบโตของแบคทีเรียแลกติกบนอาหารที่มีเกลือความเข้มข้นต่าง ๆ กัน

แบคทีเรียแลกติกที่แยกจากตัวอย่างเด็กปีมีทั้งหมด 126 สายพันธุ์ โดยการคัดเลือกจากลักษณะโโคโนลนีที่แตกต่างกันบนอาหาร MRS agar และให้ผลลบกับการทดสอบ catalase และเมื่อนำแบคทีเรียแลกติกไปทดสอบการเติบโตบนอาหาร MRS agar ที่เติมเกลือความเข้มข้น 0, 5 และ 10% (ตารางที่ 3) พบว่ามีแบคทีเรียแลกติก 23 สายพันธุ์ (18.3%) เติบโตได้ดีบนอาหารที่ไม่มีการเติมเกลือและมีเกลือ 5% มี 60 สายพันธุ์ (47.6%) เติบโตได้ในอาหารที่มีเกลือ 0, 5 และ 10% ซึ่งแบคทีเรียแลกติกเหล่านี้จัดเป็น Halotolerant และมีแบคทีเรียแลกติกเพียง 43 สายพันธุ์ (34.1%) ที่ไม่สามารถเติบโตได้บนอาหารที่ไม่เติมเกลือ ซึ่งแบคทีเรียแลกติกเหล่านี้จัดเป็น Halophilic และไม่มีแบคทีเรียแลกติกสายพันธุ์ใดที่เติบโตได้เฉพาะบนอาหารที่ไม่เติมเกลือ

ตารางที่ 3 การเติบโตของแบคทีเรียแลกติกที่แยกได้จากตัวอย่างเด็กปีบน MRS agar ที่มีเกลือความเข้มข้นต่างๆ กัน

	Growth on MRS agar added with salt			จำนวน isolates	%ของจำนวนสายพันธุ์ที่ทดสอบ
	0%	5%	10%		
Non halophilic LAB	+	-	-	0	0
Halotolerant LAB 1	+	+	-	23	18.3
Halotolerant LAB 2	+	+	+	60	47.6
Halophilic LAB 1	-	+	-	1	0.8
Halophilic LAB 2	-	-	+	1	0.8
Halophilic LAB 3	-	+	+	41	32.5
Total				126	100.0

#### 4. การคัดแยกชนิดของ probiotic lactic acid bacteria

##### 4.1 การทวนต่อเกลือน้ำดี

การทดสอบการทวนต่อเกลือน้ำดีทำโดยนำแบคทีเรียแลกติกที่แยกได้จากตัวอย่างเด้าหุ่ย์ในกระบวนการหมักและเด้าหุ่ย์สำเร็จรูปรวม 126 สายพันธุ์ มาเลี้ยงในอาหาร MRS broth เป็นเวลา 24 ชม. แล้วนำมาเพาะเลี้ยง ลงบนอาหาร MRS agar ที่มีการเติมเกลือน้ำดีเข้มข้น 0.15% และ 0.3% (ตารางที่ 4) จากการทดลองพบว่าแบคทีเรียแลกติกทุกสายพันธุ์ (100%) สามารถเติบโตได้ในอาหารที่มีเกลือน้ำดีเข้มข้น 0.15% และมี 117 สายพันธุ์ (92.9%) จากทั้งหมด 126 สายพันธุ์ ที่สามารถเติบโตได้ในอาหารที่มีเกลือน้ำดีเข้มข้น 0.3%

##### 4.2 การทวนกรด

การทดสอบการทวนกรด ทำโดยนำแบคทีเรียแลกติกที่แยกได้ มาทดสอบการเติบโตบนอาหาร MRS broth ภายใต้สภาวะที่เป็นกรด pH 2, pH3 และ pH4 (ตารางที่ 4) พบร่วมกับแบคทีเรียแลกติกทั้งหมด 126 สายพันธุ์ มีจำนวน 110 สายพันธุ์ (87.3%) ที่สามารถเติบโตได้ในอาหารที่มี pH 4 แต่ไม่สามารถเติบโตได้ในอาหารที่มี pH 2 และ pH 3

##### 4.3 การทดสอบการย่อยโปรตีน ไขมัน และแป้ง

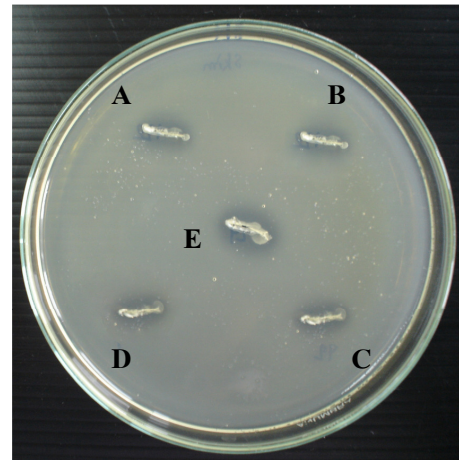
การทดสอบย่อยโปรตีน (ตารางที่ 4) (รูปที่ 19) ไขมัน และแป้ง พบร่วมกับแบคทีเรียแลกติกสามารถย่อย skim milk หรือ gelatin ได้ 50 สายพันธุ์ (39.7%) โดยมี degree of hydrolysis อยู่ระหว่าง 1.3 - 12 ส่วนอีก 2 สายพันธุ์ (1.6%) สามารถย่อย tributyrin คือ PS1232 และ PS1233 โดยมี degree of hydrolysis เท่ากับ 2.4 และ 2.3 แต่ไม่มีสายพันธุ์ใดที่สามารถย่อยแป้งได้

##### 4.4 การทดสอบการเติบโตในสภาวะที่มีและไม่มีออกซิเจน

แบคทีเรียแลกติกที่แยกทุกสายพันธุ์ที่แยกได้สามารถเติบโตได้ทั้งในสภาวะที่มีและไม่มีออกซิเจน (facultative anaerobe) (ตารางที่ 4)

ตารางที่ 4 การคัดแยกชนิดของปูรีไบโอดิกแบคทีเรียแลกติกที่แยกจากเต้าหู้

สมบัติการเป็นปูรีไบโอดิก	จำนวนสายพันธุ์ที่ทดสอบ	จำนวนสายพันธุ์ที่คัดเลือกได้	% ของจำนวนสายพันธุ์ที่ทดสอบ
การทนต่อเกลือน้ำดี 0.15%	126	126	100
การทนต่อเกลือน้ำดี 0.30%	126	117	92.9
การทนกรด	126	110	87.3
การย้อม skim milk หรือ gelatin	126	50	39.7
การย้อม tributyrin	126	2	1.6
การย้อม corn starch	126	0	0
การเติบโตในสภาพที่มีและไม่มีออกซิเจน	126	126	100



NA + 1% skim milk

รูปที่ 19 การผลิตเออนไซม์ย้อมปูรีตินของแบคทีเรียแลกติกสายพันธุ์ PS12102 (A), PS1295 (B)  
PS1248 (C), PS1244 (D) และ PS1253 (E)

## 5. การทดสอบความสามารถของแบคทีเรียแลกติกในการยับยั้งแบคทีเรียอินดิเคเตอร์

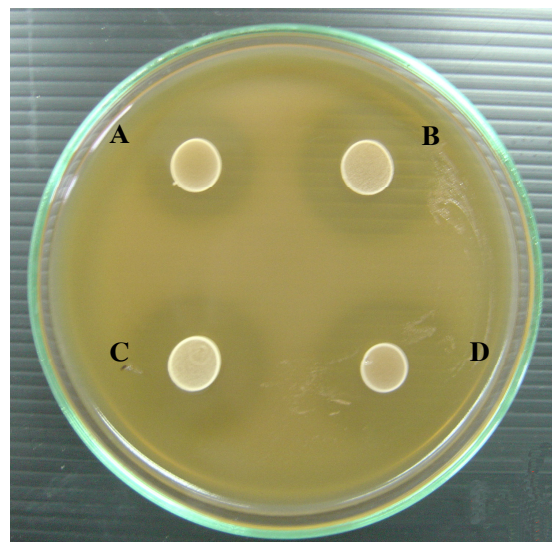
การทดสอบแบคทีเรียแลกติกที่แยกได้ในการยับยั้งแบคทีเรียอินดิเคเตอร์ โดยวิธี Agar spot assay (ตารางที่ 5) (รูปที่ 20) พบว่าแบคทีเรียแลกติกที่แยกได้มีความสามารถในการยับยั้งแบคทีเรียอินดิเคเตอร์ได้ทั้งแบคทีเรียกรัมบวกและแบคทีเรียกรัมลบ โดยสามารถยับยั้ง *E. coli* ATCC25922 (96.0%), *S. aureus* ATCC25923 (79%), *B. cereus* TISTR687 (91.3%) และ *L. monocytogenes* DMST4553 (88.1%)

ส่วนการนำส่วนของอาหารเลี้ยงเชื้อแบคทีเรียแลกติกมาทดสอบการยับยั้ง โดยวิธี Agar well diffusion assay (รูปที่ 21) พบว่ามีแบคทีเรียแลกติกเพียง 2 สายพันธุ์ ได้แก่ แบคทีเรียแลกติก PS1240 และ PS1243 ที่สามารถยับยั้งการเติบโตของแบคทีเรียอินดิเคเตอร์ *L. monocytogenes* DMST4553 เท่านั้น โดยให้ใช้นการยับยั้ง 35.5 มม. และ 16.3 มม. ตามลำดับ ซึ่งแบคทีเรียแลกติกทั้ง 2 สายพันธุ์นี้เป็นแบคทีเรียแลกติกที่แยกได้จากกระบวนการหมักเต้าหู้ในเดือนที่ 3 และเป็นแบคทีเรียนเกลือความเข้มข้น 5%

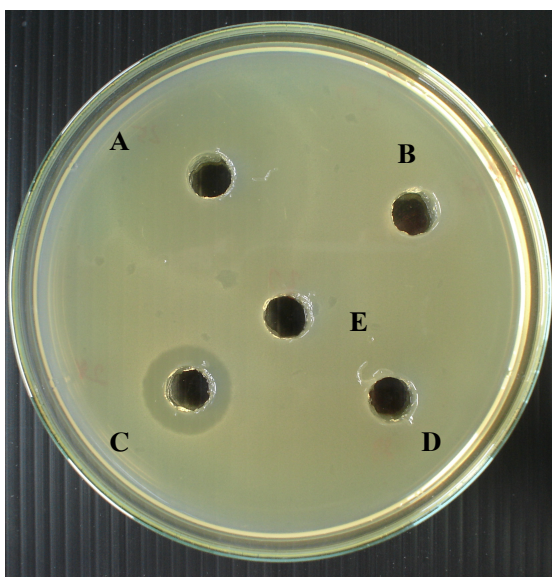
ตารางที่ 5 ผลการยับยั้งแบคทีเรียอินดิเคเตอร์ของแบคทีเรียแลกติกที่แยกได้โดยวิธี Agar spot assay

แบคทีเรียอินดิเคเตอร์	จำนวนสายพันธุ์ที่ทดสอบ	จำนวนสายพันธุ์ที่ยับยั้งได้				%ของสายพันธุ์ที่ยับยั้งได้
		+	++	+++	++++	
<i>E. coli</i> ATCC25922	126	36	47	37	1	96.0
<i>S. aureus</i> ATCC25923	126	38	35	25	2	79.4
<i>B. cereus</i> TISTR687	126	50	38	27	0	91.3
<i>L. monocytogenes</i> DMST4553	126	38	48	23	2	88.1

- + คือ ขนาดเส้นผ่าศูนย์กลางของวงไสมากกว่า 10 มม.
- ++ คือ ขนาดเส้นผ่าศูนย์กลางของวงไสมากกว่า 20 มม.
- +++ คือ ขนาดเส้นผ่าศูนย์กลางของวงไสมากกว่า 30 มม.
- ++++ คือ ขนาดเส้นผ่าศูนย์กลางของวงไสมากกว่า 40 มม.



รูปที่ 20 ผลการขับยั่ง *Escherichia coli* ATCC25922 ของแบคทีเรียแลกติกสายพันธุ์ PS1234 (A), PS1238 (B), PS1240 (C) และ PS1241 (D) โดยวิธีการขับยั่งบนอาหารแพ็ง (Agar spot assay)



รูปที่ 21 ผลการขับยั่ง *Listeria monocytogenes* DMST4553 ของ culture broth ที่ได้จากการเลี้ยงเชื้อ แบคทีเรียแลกติกสายพันธุ์ PS1240 (A), PS1242 (B), PS1243 (C), PS1253 (D) และ PS1254 (E) โดยวิธี Agar well diffusion assay

## 6. การปั่งชีชนิดของสารยับยั้ง

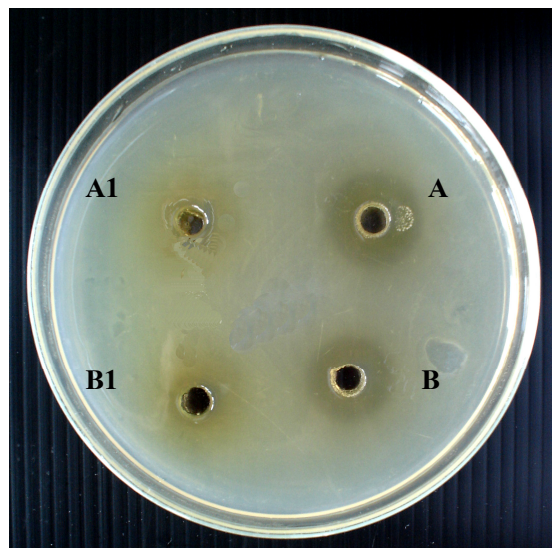
การปั่งชีชนิดสารยับยั้งของแบคทีเรียแลกติก PS1240 และ PS1243 โดยการนำส่วนของแบคทีเรียแลกติกทั้ง 2 สายพันธุ์ มาเพิ่มความเข้มข้น 10 เท่า โดยการทำ Lyophilize แล้วนำมาปรับ pH เป็นกลางเพื่อกำจัดสารยับยั้งที่เกิดจากกรดและไม่ปรับ pH มาทดสอบร่วมกับเอนไซม์ย่อยโปรตีน แป้ง และไขมัน แล้วนำมาทดสอบสารยับยั้งที่เหลืออยู่โดยวิธี Agar well diffusion (ตารางที่ 6) (รูปที่ 22) พบว่าส่วนของแบคทีเรียแลกติกทั้งสองสายพันธุ์ไม่เกิดโซนยับยั้ง *L. monocytogenes* DMST4553 เมื่อปรับ pH ของส่วนใส แสดงว่าฤทธิ์ในการยับยั้งเกิดจากกรด และไม่พบแบคเทอริโอซินและไฮโตรเจนเปอร์ออกไซด์ เมื่อทดสอบส่วนใสที่ไม่ได้ปรับ pH กับเอนไซม์ชนิดต่างๆ เนื่องจากโซนยับยั้ง *L. monocytogenes* DMST4553 ของส่วนใสที่บ่มร่วมกับเอนไซม์ชนิดต่างๆ มีขนาดเท่ากับส่วนใสที่ไม่ได้บ่มร่วมกับเอนไซม์ซึ่งใช้เป็น control (ตารางที่ 7) (รูปที่ 23)

ตารางที่ 6 ผลการทดสอบสารยับยั้งของน้ำเลี้ยงเจื้อแบคทีเรียแลกติกที่ปรับ pH

ชนิดของเอนไซม์ที่ใช้ทดสอบ	โซนการยับยั้ง (มม.)			
	PS1240		PS1243	
	ชุดควบคุม <sup>a</sup>	ชุดทดสอบ <sup>b</sup>	ชุดควบคุม <sup>a</sup>	ชุดทดสอบ <sup>b</sup>
Pepsin	0	0	0	0
Proteinase K	0	0	0	0
Trypsin	0	0	0	0
Lipase	0	0	0	0
$\alpha$ -amylase	0	0	0	0
Catalase	0	0	0	0

<sup>a</sup>ชุดควบคุม หมายถึง ส่วนใสที่ปรับ pH และไม่ได้ทดสอบร่วมกับเอนไซม์

<sup>b</sup>ชุดทดสอบ หมายถึง ส่วนใสที่ปรับ pH และทดสอบร่วมกับเอนไซม์



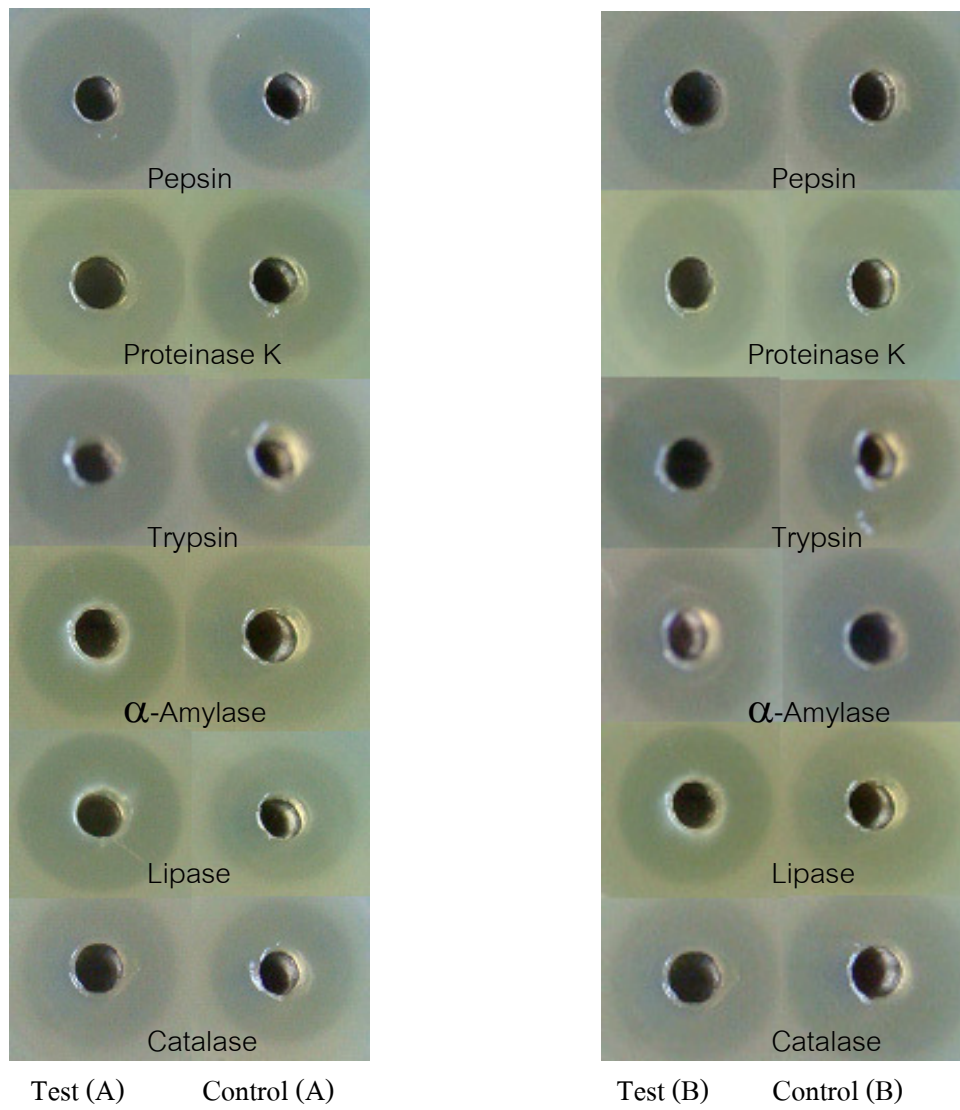
รูปที่ 22 การทดสอบสารยับยั้งของแบคทีเรียแอลектิกกับ *L. monocytogenes* DMST4553 โดยวิธี agar well diffusion assay PS1240 A: ก่อนปรับ pH, A1: หลังปรับ pH และสายพันธุ์ PS1243 B: ก่อนปรับ pH และ B1: หลังปรับ pH

ตารางที่ 7 ผลการทดสอบสารยับยั้งของน้ำเดือดเชื้อแบคทีเรียแอลектิกที่ไม่ได้ปรับ pH

ชนิดของเอนไซม์ที่ใช้ทดสอบ	โซนการยับยั้ง (มม.)			
	PS1240		PS1243	
	ชุดควบคุม <sup>a</sup>	ชุดทดสอบ <sup>b</sup>	ชุดควบคุม <sup>a</sup>	ชุดทดสอบ <sup>b</sup>
Pepsin	17.2	18.2	16.6	16.5
Proteinase K	16.5	16.0	16.6	15.9
Trypsin	16.2	16.8	17.3	17.3
Lipase	14.8	17.0	17.3	17.3
$\alpha$ -amylase	17.9	17.8	17.5	17.5
Catalase	16.5	16.7	16.5	16.5

<sup>a</sup>ชุดควบคุม หมายถึง ส่วนใสที่ไม่ได้ปรับ pH และไม่ได้ทดสอบร่วมกับเอนไซม์

<sup>b</sup>ชุดทดสอบ หมายถึง ส่วนใสที่ไม่ได้ปรับ pH และทดสอบร่วมกับเอนไซม์

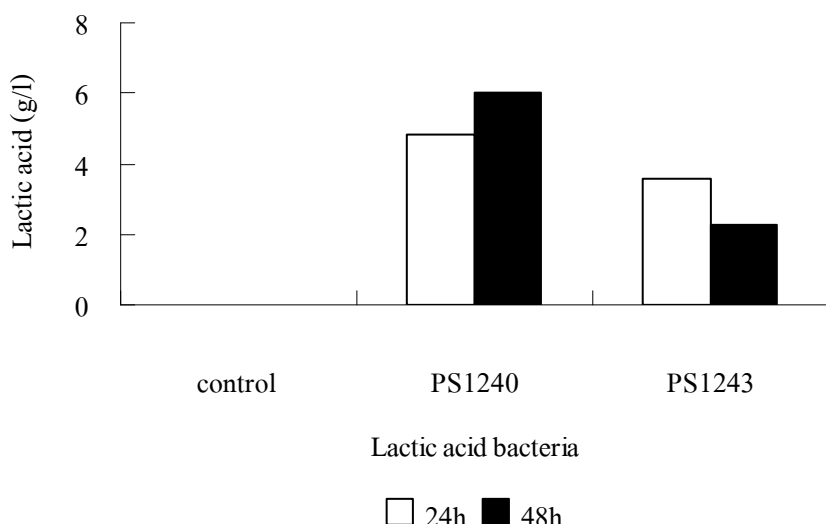


**รูปที่ 23** การทดสอบสารขับยั่งของแบคทีเรียแอกติกสายพันธุ์ PS1240 (A) และ PS1243 (B) กับเชื้อ *L. monocytogenes* DMST4553 โดยวิธี Agar well diffusion assay หลังจากบ่มร่วมกับ เอนไซม์เป็นเวลา 2 ชม.

Test หมายถึง ส่วนໃสที่ไม่ได้ปรับ pH และทดสอบร่วมกับเอนไซม์  
Control หมายถึง ส่วนໃสที่ไม่ได้ปรับ pH และไม่ได้ทดสอบร่วมกับเอนไซม์

## 7. การตรวจหา organic acid

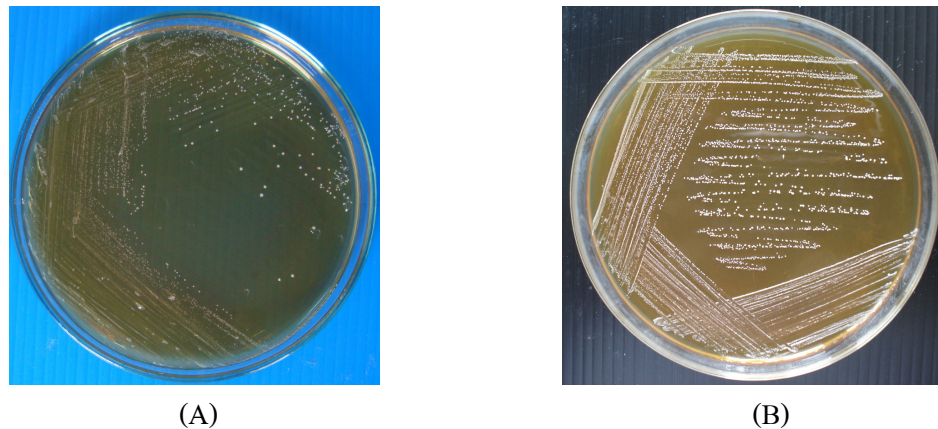
เนื่องจากแบคทีเรียแลกติกสายพันธุ์ PS1240 และ PS1243 มีความสามารถในการขับยั่งแบคทีเรียอนคิโคเตอร์ทั้ง 4 สายพันธุ์ และส่วนไสของอาหารเดี้ยงเชื้อแบคทีเรียแลกติก สองสายพันธุ์นี้มีความสามารถขับยั่งการเจริญเติบโตของ *L. monocytogenes* DMST4553 จึงนำแบคทีเรียแลกติกทั้งสองสายพันธุ์ มาเดี้ยงใน MRS broth เป็นเวลา 24 และ 48 ชม. แล้วนำ culture broth มาตรวจหาปริมาณกรดอะซิติก และกรดแลกติก (รูปที่ 24) พบว่าแบคทีเรียแลกติกสายพันธุ์ PS1240 ผลิตปริมาณกรดแลกติกได้มากกว่า สายพันธุ์ PS1243 โดย PS 1240 ผลิตกรดแลกติกปริมาณ 4.9 และ 5.9 g/l ในเวลา 24 และ 48 ชม. ส่วน PS1243 สามารถผลิตกรดแลกติกปริมาณ 3.6 และ 2.3 g/l ในเวลา 24 และ 48 ชม. **แต่ตรวจไม่พบกรดอะซิติก**



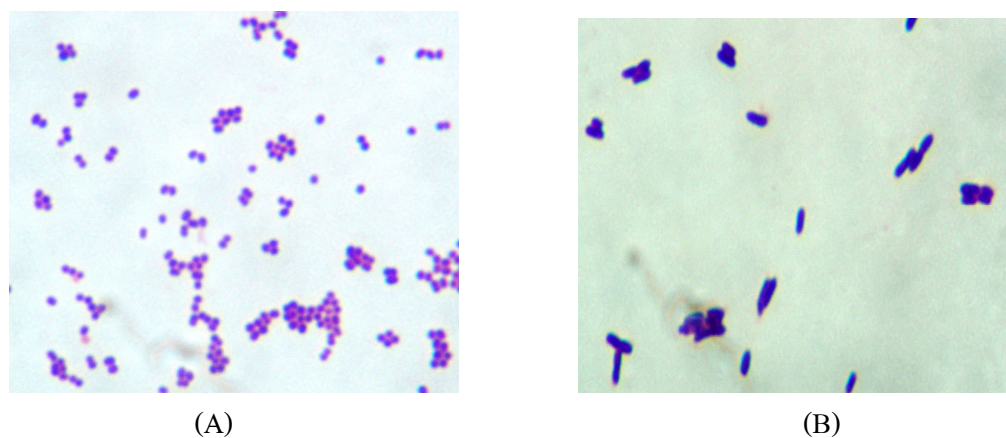
**รูปที่ 24** การผลิตกรดแลกติกของแบคทีเรียแลกติกสายพันธุ์ PS1240 และ PS1243 ในอาหาร MRS broth บ่มที่อุณหภูมิ 35°C เป็นเวลา 24 และ 48 ชม. (control คือ MRS broth)

## 8. การระบุชนิดแบคทีเรียแลกติก

การปั่งชีเพื่อระบุชนิดแบคทีเรียแลกติก ที่แยกได้จากตัวอย่างเต้าหู้จำนวน 126 สายพันธุ์ ทำโดยการทดสอบทางกายภาพและทางเคมี คุณภาพโคลนี (รูปที่ 25) ข้อมูลศึกษารัมบาก (รูปที่ 26) ทดสอบการเติบโตที่อุณหภูมิ  $10^{\circ}\text{C}$  และ  $45^{\circ}\text{C}$  ทดสอบการเติบโตในอาหารที่มี pH 4.4 และ pH 9.9 ทดสอบการเติบโตในอาหารที่มีเกลือ 6.5% และ 18% ผลปรากฏว่าสามารถจำแนกเป็นแบคทีเรียแลกติก *Lactobacillus* จำนวน 67 สายพันธุ์ (53.17%) จำแนกเป็น *Lactobacillus* ที่แยกจากกระบวนการหมัก 48 สายพันธุ์ จากก้อนเต้าหู้ (tofu) 9 สายพันธุ์ และจากเต้าหู้ยำรีจูป 10 สายพันธุ์ และจำแนกเป็น *Pediococcus* 59 สายพันธุ์ (46.83%) โดยจำแนกเป็น *Pediococcus* ในกระบวนการหมัก 58 สายพันธุ์ และในเต้าหู้ยำรีจูป 1 สายพันธุ์ (ตารางที่ 8) ทุกสายพันธุ์หมักน้ำตาลกลูโคสแล้วสร้างกรดแต่ไม่สร้างแก๊สจึงจัดเป็น homofermentative lactic acid bacteria ดังแสดงตัวอย่างการทดสอบของแบคทีเรียแลกติก 10 สายพันธุ์ และเบรี่ยนเทียนกับแบคทีเรียแลกติกสายพันธุ์มาตรฐาน (ตารางที่ 9) หลักการคัดเลือกแบคทีเรียแลกติก 10 สายพันธุ์ดังกล่าว โดยอาศัยคุณสมบัติ probiotic และมีศักยภาพในการยับยั้งแบคทีเรียก่อโรคในทางเดินอาหาร รวมทั้งความสามารถในการผลิตเอนไซม์ย่อยโปรตีน หรือย่อยไขมัน เพื่อบ่งชี้ในระดับ species โดยการทดสอบการใช้คาร์บอโนไดออกไซด์ API 50 CHL test โดยใช้ *Lactobacillus plantarum* TISTR862 เป็นสายพันธุ์มาตรฐานเป็นตัวเบรี่ยนเทียน (ตารางที่ 9 และ 10) (รูปที่ 27) แล้วนำผลที่ได้ไปเบรี่ยนเคียงชนิดโดยใช้โปรแกรมคอมพิวเตอร์ API Web Stand Alone V. 1.1.0 (ตารางที่ 11) เป็น *Lactobacillus curvatus* (99.4% identity) 3 สายพันธุ์ (PS1240, PS1241, PS1243) *Lactobacillus delbrueckii* (92.4% identity) 3 สายพันธุ์ (PS1287, PS12102, LPS1203) *Pediococcus* sp. (98.6, 94.5 และ 91.8% identity) 3 สายพันธุ์ (PS1231, PS1270, CPS1210) และ *Lactobacillus plantarum* (99.9% identity) 1 สายพันธุ์ (LPS1203) อย่างไรก็ตามเมื่อบ่งชี้ชนิดของแบคทีเรียแลกติกโดยวิธีการตรวจหาลำดับเบสของ 16S rRNA (รูปที่ 28) พบว่า *Lactobacillus curvatus* PS1240 (99.4% identity) เป็นสายพันธุ์ *Lactobacillus acidipiscis* (99% identity) และ *Pediococcus* PS1231 เป็น *Tetragenococcus halophilus* (99% identity)



รูปที่ 25 ลักษณะโโค โนนีที่แตกต่างกันของแบคทีเรียแลกติกสายพันธุ์ PS1231 (A) และ PS1243 (B)  
ที่เพาะเลี้ยงบนอาหาร MRS agar บ่ม 35°C เป็นเวลา 48 ชม.



รูปที่ 26 รูปร่าง การจัดเรียงตัว และการติดสีกรัมของแบนค์ที่เรียกแลกติกที่แยกได้จากการบวนการหมักเต้าหู้ (กำลังขยาย 100 เท่า)

A) รูปทรงแบบ cocci, tetrad formation ของเชื้อสายพันธุ์ PS1231

B) รูปทรงแบบ rod ของเชือสายพันธุ์ PS1243

**ตารางที่ 8 การจำแนกแบนค์ที่เรียแลกติก 126 สายพันธุ์ที่แยกได้จากตัวอย่างเดาที่มี**

Genus	สายพันธุ์
<i>Lactobacillus</i> 67 สายพันธุ์	PS1201, PS1202, PS1203, PS1204, PS1205, PS1206, PS1207, PS1208, PS1209, PS1218, PS1219, PS1220, PS1221, PS1222, PS1223, PS1224, PS1225, PS1226, PS1227, PS1228, PS1229, PS1234, PS1235, PS1236, PS1237, PS1238, PS1239, PS1240, PS1241, PS1242, PS1243, PS1248, PS1249, PS1250, PS1251, PS1252, PS1253, PS1254, PS1255, PS1260, PS1262, PS1263, PS1286, PS1287, PS1288, PS1290, PS1298, PS1299, LPS1201, LPS1202, LPS1203, LPS1204, LPS1205, LPS1206, LPS1207, LPS1208, LPS1209, CPS1201, CPS1202, CPS1203, CPS1204, CPS1205, CPS1206, CPS1207, CPS1208, CPS1209, CPS1211
<i>Pediococcus</i> 59 สายพันธุ์	PS1210, PS1211, PS1212, PS1213, PS1214, PS1215, PS1216, PS1217, PS1230, PS1231, PS1232, PS1233, PS1244, PS1245, PS1246, PS1247, PS1256, PS1257, PS1258, PS1259, PS1261, PS1264, PS1265, PS1266, PS1267, PS1268, PS1269, PS1270, PS1271, PS1272, PS1273, PS1274, PS1275, PS1276, PS1277, PS1278, PS1279, PS1280, PS1281, PS1282, PS1283, PS1284, PS1285, PS1289, PS1291, PS1292, PS1293, PS1294, PS1295, PS1296, PS1297, PS12100, PS12101, PS12102, PS12103, PS12104, PS12105, PS12106, CPS1210

**ตารางที่ 9 ตัวอย่างการทดสอบทางกายภาพและทางชีวเคมีของแบคทีเรียแลกติก 10 สายพันธุ์ และเปรียบเทียบกับสายพันธุ์มาตรฐาน**

Strains	Shape	Tetrad formation	CO <sub>2</sub> from glucose	Growth at		Growth in NaCl		Growth at pH		Enzyme production		
				10°C	45°C	6.5%	18%	4.4	9.6	protease	amylase	lipase
<i>Pediococcus</i> (PS1231)	cocci	+	-	-	+	-	-	+	-	+	-	-
<i>Lactobacillus</i> (PS1240)	rod	-	-	-	+	-	-	-	-	+	-	-
<i>Lactobacillus</i> (PS1241)	rod	-	-	-	+	-	-	+	-	+	-	-
<i>Lactobacillus</i> (PS1243)	rod	-	-	-	+	-	-	+	-	+	-	-
<i>Pediococcus</i> (PS1270)	cocci	+	-	-	-	+	+	+	-	+	-	+
<i>Lactobacillus</i> (PS1287)	rod	-	-	+	+	-	-	+	-	+	-	-
<i>Lactobacillus</i> (PS12102)	rod	-	-	+	+	-	-	+	-	+	-	-
LPS1203 ( <i>Lactobacillus</i> )	rod	-	-	+	+	+	-	+	-	-	-	-
<i>Lactobacillus</i> (LPS1207)	rod	-	-	+	-	-	-	+	-	-	-	-
<i>Pediococcus</i> (CPS1210)	cocci	+	-	+	+	+	-	+	-	+	-	-
<i>L. plantarum</i> TISTR862	rod	-	-	+	+	+	-	+	-	-	-	-
<i>L. bulgaricus</i> TISTR451	rod	-	-	+	+	-	-	+	-	-	-	-
<i>P. halophilus</i> TISTR334	cocci	+	-	-	-	+	-	+	-	-	-	-
<i>L. lactis</i> TISTR1401	rod	-	+	+	+	-	-	+	-	-	-	-

หมายเหตุ: + = เติบโต, - = ไม่เติบโต

ตารางที่ 10 การทดสอบการป้องกันเชื้อรา 49 ชนิดของแบคทีเรียแอลกติกที่แยกจากได้เต้าหู้

Tube	Test	<i>Pediococcus</i>			<i>Lactobacillus</i>						
		PS1231	PS1244	CPS1210	PS1240	PS1241	PS1243	PS1287	PS12102	LPS1203	<i>L. plantarum</i>
0	CONTROL	-	-	-	-	-	-	-	-	-	-
1	Glycerol	-	d	-	d	-	d	d	-	-	d
2	Erytritol	-	-	-	-	-	-	-	-	-	-
3	D-Arabinos	-	-	-	-	-	-	-	-	-	d
4	L-Arabinose	-	+	+	-	-	-	-	-	+	d
5	D-Ribose	+	+	+	+	+	+	+	+	+	+
6	D-Xylose	-	-	-	-	-	-	-	-	-	d
7	L-Xylose	-	-	-	-	-	-	-	-	-	-
8	A-Adonitol	-	-	-	-	-	-	-	-	-	-
9	Methyl- $\beta$ D-Xylopyranoside	-	-	-	-	-	-	-	-	-	-
10	D-Galactose	+	+	+	+	+	+	+	+	+	+
11	D-Glucose	+	+	+	+	+	+	+	+	+	+
12	D-Fructose	+	+	+	+	+	+	+	+	+	+
13	D-Mannose	+	+	+	+	+	+	+	+	+	+
14	L-Sorbose	-	-	-	-	-	-	-	-	-	d
15	L-Rhamnose	-	-	-	-	-	-	-	-	d	-
16	Dulcitol	-	-	-	-	-	-	-	-	-	-
17	Inositol	-	-	-	-	-	-	-	-	-	-
18	D-Mannitol	-	d	-	+	+	+	-	-	+	-
19	D-Sorbitol	-	-	-	-	-	-	-	-	+	-
20	Methyl- $\alpha$ D-Mannopyranoside	+	+	+	-	-	-	-	-	+	-
21	Methyl- $\alpha$ D-Glucopyranoside	d	-	d	d	-	d	-	-	-	-
22	N-Acetylglucosamine	+	+	+	d	+	+	d	-	d	d
23	Amygdalin	d	d	d	d	-	d	-	-	+	-

**ตารางที่ 10 (ต่อ)**

Tube	Test	<i>Pediococcus</i>			<i>Lactobacillus</i>							
		PS1231	PS1244	CPS1210	PS1240	PS1241	PS1243	PS1287	PS12102	LPS1203	LPS1207	
24	Arbutin	+	+	d	d	-	d	-	-	+	-	+
25	Esculin ferric citrate	+	+	+	+	+	+	-	-	+	-	+
26	Salicin	+	d	d	d	d	d	-	-	d	-	+
27	D-Cellobiose	+	+	+	+	+	+	-	-	+	-	+
28	D-Maltose	+	+	d	d	d	d	-	-	+	-	+
29	D-Lactose (bovine origin)	+	+	+	-	-	-	-	-	+	-	+
30	D-Melibiose	-	-	-	-	-	-	-	-	+	-	+
31	D-Saccharose	+	+	-	-	-	d	-	-	+	-	+
32	D-Trehalose	+	+	+	+	+	+	-	-	+	-	+
33	Inulin	-	-	-	-	-	-	-	-	-	-	-
34	D-Melezitose	d	-	-	-	-	-	-	-	+	-	+
35	D-Raffinose	-	-	-	-	-	-	-	-	+	-	+
36	Amidon (strach)	-	-	-	-	-	-	-	-	-	-	-
37	Glycogen	-	-	-	-	-	-	-	-	-	-	-
38	Xylitol	-	-	-	-	-	-	-	-	-	-	-
39	Gentiobiose	+	+	+	d	+	-	-	-	d	-	-
40	D-Turanose	+	+	-	-	-	-	-	-	+	-	+
41	D-Lyxose	-	-	-	-	-	-	-	-	-	-	-
42	D-Tagatose	-	-	-	+	+	d	d	-	-	d	-
43	D-Fucose	-	-	-	-	-	-	-	-	-	-	-
44	L-Fucose	-	-	-	-	-	-	-	-	-	-	-
45	D-Arabinol	-	-	-	-	-	-	-	-	-	-	-
46	L-Arabinol	-	-	-	-	-	-	-	-	-	-	-
47	Potassium Gluconate	-	-	-	d	-	-	-	-	d	-	-
48	Potassium 2-ketogluconate	-	-	-	-	-	-	-	-	-	-	-
49	Potassium 5-ketogluconate	-	-	-	-	-	-	-	-	-	-	-

+ : positive, - : negative, d : delay reaction

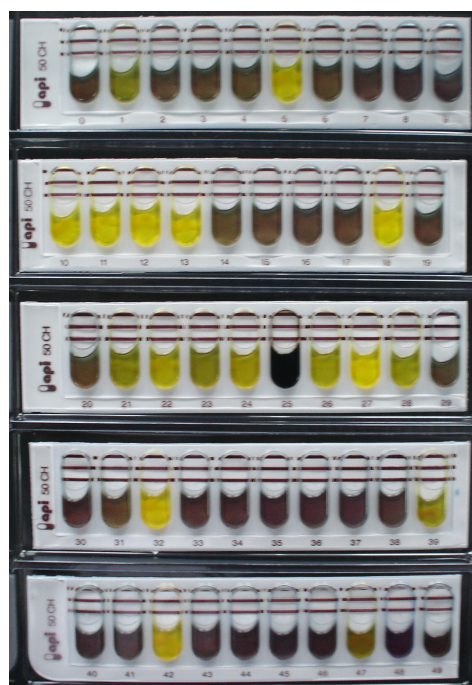
ตารางที่ 11 เปอร์เซ็นต์การบ่งชี้ชนิดของแบคทีเรียแลกติกโดยใช้ program computer API Web

Stand Alone V. 1.1.0

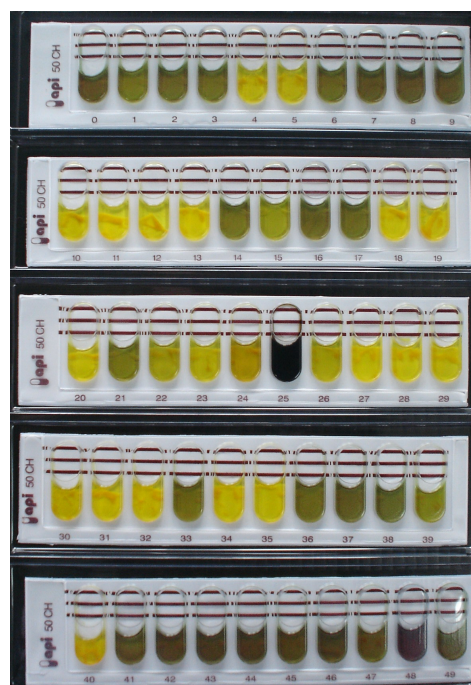
รหัสแบคทีเรียแลกติก	แหล่งที่มา	ชนิดของแบคทีเรียแลกติกที่บ่งชี้ได้	%Identity
PS1231	FSF2	<i>Pediococcus</i> sp.	91.8
PS1240	FSF3	<i>Lactobacillus curvatus</i>	99.4
PS1241	FSF3	<i>Lactobacillus curvatus</i>	99.4
PS1243	FSF3	<i>Lactobacillus curvatus</i>	99.4
PS1270	FSF3	<i>Pediococcus</i> sp.	94.5
PS1287	FSF7	<i>Lactobacillus delbrueckii</i>	92.4
PS12102	FSF8	<i>Lactobacillus delbrueckii</i>	92.4
LPS1203	ก้อนเต้าหู้ (tofu)	<i>Lactobacillus plantarum</i>	99.9
LPS1207	ก้อนเต้าหู้ (tofu)	<i>Lactobacillus delbrueckii</i>	92.4
CPS1210	CSF9	<i>Pediococcus</i> sp.	98.6
<i>L. plantarum</i> TISTR 862	สถาบันวิจัยวิทยาศาสตร์และเทคโนโลยีแห่งประเทศไทย	<i>Lactobacillus plantarum</i>	99.9



## Negative control



Test (PS1240)



Test (LPS1203)

รูปที่ 27 การปั่นชีวนิດของแบคทีเรียแลกติกโดยใช้ API 50 CHL

Negative control หมายถึง แบคทีเรียแลกติกไม่ผลิตกรดออกมานเปลี่ยนสีอินดิเคเตอร์ (สีม่วง) Positive control หมายถึง แบคทีเรียติกสามารถใช้น้ำตาลแล้วผลิตกรดออกมานเปลี่ยนสีอินดิเคเตอร์ (สีเหลือง)

obj|AB236940.1| *Tetragenococcus halophilus* gene for 16S rRNA, partial sequence,  
strain:E051627

Length=473

Score = 854 bits (462), Expect = 0.0

Identities = 467/470 (99%), Gaps = 1/470 (0%)

Strand=Plus/Minus

Query	28	CCTCTTCTCCTGTTCTTGCTGACAACAGAGCTTACGATCCGAAACCTTCTCACTC	87
Sbjct	473	CCTCTTCTCCTGTTCTTGCTGACAACAGAGCTTACGATCCGAAACCTTCTCACTC	414
Query	88	ACGCGGCGTTGCTCGTCAGACTGCGTCCATTGCCGAAGATTCCCTACTGCTGCCCTCCC	147
Sbjct	413	ACGCGGCGTTGCTCGTCAGACTGCGTCCATTGCCGAAGATTCCCTACTGCTGCCCTCCC	354
Query	148	GTAAGGAGTCTGGGCCGTGTCAGTCCCAGTGTGGCCGATCACCCCTCAGGTGGCTAT	207
Sbjct	353	GTAAGGAGTCTGGGCCGTGTCAGTCCCAGTGTGGCCGATCACCCCTCAGGTGGCTAT	294
Query	208	GCATCGTTGCTTGGTGAGCCGTTACCTCACCAACTGGCTAATGCACCGCGGGACCAGCC	267
Sbjct	293	GCATCGTTGCTTGGTGAGCCGTTACCTCACCAACTGGCTAATGCACCGCGGGACCAGCC	234
Query	268	ATCAGTGACGCTGTAAAGCGCCTTGAGCTTCTTCAGGTGaaaaaaaaGCCNTATGCGG	327
Sbjct	233	ATCAGTGACGCTGTAAAGCGCCTTGAGCTTCTTCAGGTGAAAAAAAGCCATATGCGG	174
Query	328	TATTAGCACCTGTTCCAAGTGTATCCCCCGCTGATGGATAGGTTCCCCACGTGTTACT	387
Sbjct	173	TATTAGCACCTGTTCCAAGTGTATCCCCCGCTGATGGATAGGTTCCCCACGTGTTACT	11
Query	388	CACCCGTCCGCCACTCCGCTTaaaaaaaaaCGAAGTTCTTAAGCAGCGTTCGACT	447
Sbjct	113	CACCCGTCCGCCACTCCGCTTAAGAAAAAACCGAAGTTCTTAAGCAGCGTTCGACT	54
Query	448	TGCATGTATTAGGCACGCCAGCGTTCGTCCTGAGCCAGGGATCAAAC	497
Sbjct	53	TGCATGTATTAGGCACGCCAGCGTTCGTCCTGAGCCA-GGATCAAAC	5

(A)

dbj|AB289009.1| *Lactobacillus acidipiscis* gene for 16S rRNA, partial sequence, strain: JCM

10692

Length=680

Score = 808 bits (437), Expect = 0.0

Identities = 442/445 (99%), Gaps = 0/445 (0%)

Strand=Plus/Minus

```

Query 1      GTCAGCGCGATAACAGTTACTCTATCACGTGTTCTCTGTGACAACAGTATTTACGATC 60
               |||||||| | | | | | | | | | | | | | | | | | | | | | | | | | | | |
Sbjct 445    GTCAGCGCCATAGCAGTTACTCTATCACGTGTTCTCTGTGACAACAGTATTTACGATC 386
               |||||||| | | | | | | | | | | | | | | | | | | | | | | | | | | |
Query 61     CGAAGACCTCTTCATACACGCCGGTGTCTCATCAGACTTGCGTCATTGTGGAAGAT 120
               |||||||| | | | | | | | | | | | | | | | | | | | | | | | | | |
Sbjct 385    CGAAGACCTCTTCATACACGCCGGTGTCTCATCAGACTTGCGTCATTGTGGAAGAT 326
               |||||||| | | | | | | | | | | | | | | | | | | | | | | | | |
Query 121    TCCCTACTGCTGCCTCCCGTAGGAGTTGGCCGTGTCTCAGTCCAATGTGGCCGATCA 180
               |||||||| | | | | | | | | | | | | | | | | | | | | | | | | |
Sbjct 325    TCCCTACTGCTGCCTCCCGTAGGAGTTGGCCGTGTCTCAGTCCAATGTGGCCGATCA 266
               |||||||| | | | | | | | | | | | | | | | | | | | | | | | | |
Query 181     ACCTCTCAGTCGGCTACGTATCATCACCTGGTAAGCCGTTACCTTACCAACTAGTTAA 240
               |||||||| | | | | | | | | | | | | | | | | | | | | | | | | |
Sbjct 265    ACCTCTCAGTCGGCTACGTATCATCACCTGGTAAGCCGTTACCTTACCAACTAGTTAA 206
               |||||||| | | | | | | | | | | | | | | | | | | | | | | | | |
Query 241     TACGCCCGGGCTCATCCAAAAGCGACAGCTGACGCCGTCTTGCCCCGGCGACCATGCG 300
               |||||||| | | | | | | | | | | | | | | | | | | | | | | | | |
Sbjct 205    TACGCCCGGGCTCATCCAAAAGCGACAGCTGACGCCGTCTTGCCCCGGCGACCATGCG 146
               |||||||| | | | | | | | | | | | | | | | | | | | | | | | | |
Query 301     GTCAGCCGGTTGATGCGGTATTAGCACCTGTTCCAAGTGTATCCCCCACTTNGGGCA 360
               |||||||| | | | | | | | | | | | | | | | | | | | | | | | | |
Sbjct 145    GTCAGCCGGTTGATGCGGTATTAGCACCTGTTCCAAGTGTATCCCCCACTTNGGGCA 86
               |||||||| | | | | | | | | | | | | | | | | | | | | | | | | |
Query 361     GATTGCCAACGTGTTACTCACCGTTGCCACTCGCACTTGACCCTGAGTGCAAGCAC 420
               |||||||| | | | | | | | | | | | | | | | | | | | | | | | |
Sbjct 85     GATTGCCAACGTGTTACTCACCGTTGCCACTCGCACTTGACCCTGAGTGCAAGCAC 26
               |||||||| | | | | | | | | | | | | | | | | | | | | | | | |
Query 421     TCATTAGTCAAAGATTGCGTTCGAC 445
               |||||||| | | | | | | | | | | | | | | | | | | | | | |
Sbjct 25     TCATTAGTCAAAGATTGCGTTCGAC 1
               |||||||| | | | | | | | | | | | | | | | | | | | | | |

```

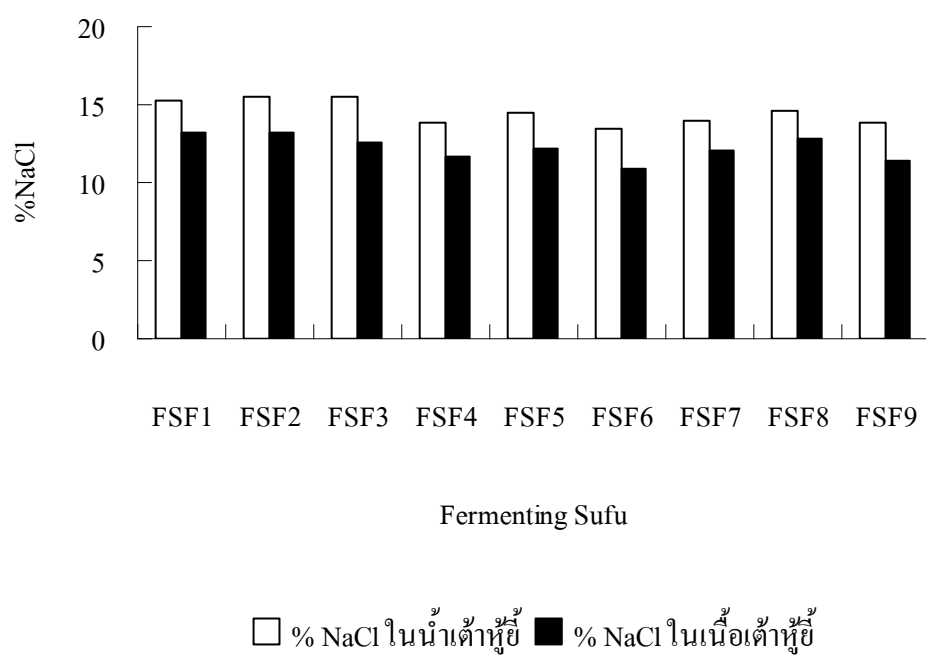
(B)

รูปที่ 28 การบ่งชี้ชนิดของแบคทีเรียแลกติก PS1231 (A) และ PS1240 (B) โดยวิธีการตรวจหาลำดับ

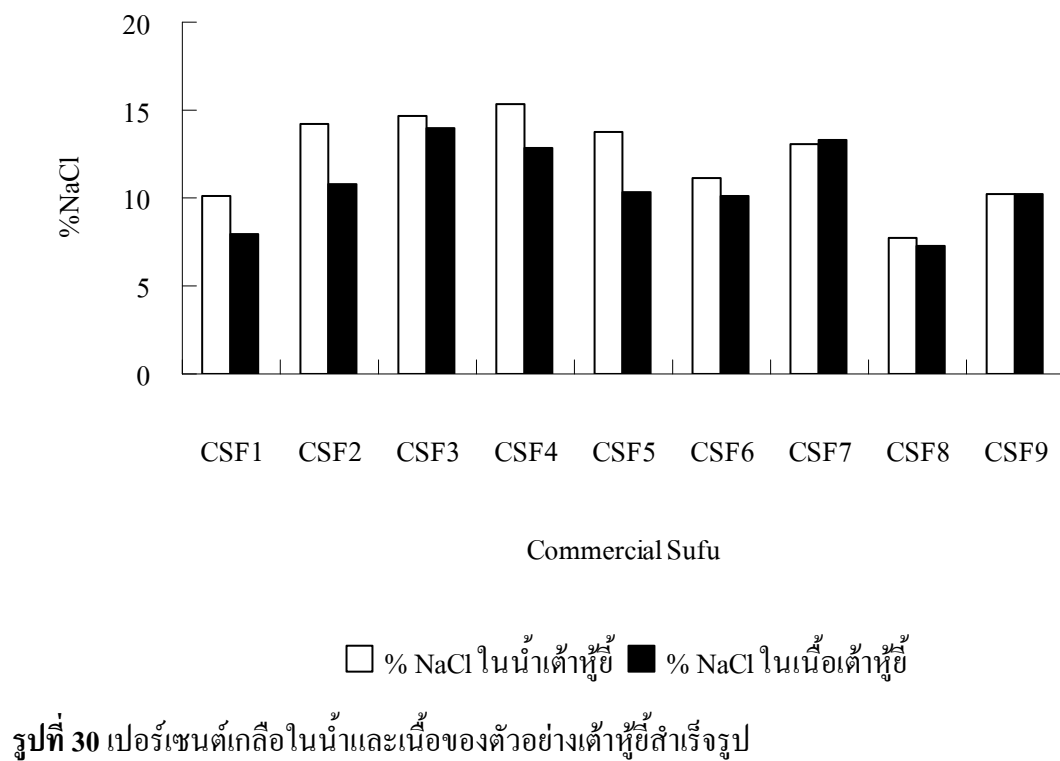
baseของ 16S rRNA gene

9. การตรวจหาปริมาณเกลือในตัวอย่างเด้าหุ้ย

การตรวจหาปริมาณเกลือในตัวอย่างเต้าหู้ยี่ในกระบวนการหมัก (รูปที่ 29) และเต้าหู้ยี่สำเร็จรูป (รูปที่ 30) พบว่า เต้าหู้ยี่ในกระบวนการหมักมีปริมาณเกลือในน้ำเต้าหู้ยี่สูงกว่าในเนื้อ โดยมีปริมาณเกลือเริ่มต้น 15.2% (น้ำ) และ 13.2% (เนื้อ) และปริมาณเกลือลดลงต่อไปในเดือนที่ 6 แล้วเพิ่มขึ้นเล็กน้อย โดยมีปริมาณเกลือในเดือนที่ 9 เพิ่มากับ 13.8% (น้ำ) และ 11.4% (เนื้อ) ตามลำดับ ส่วนปริมาณเกลือในเต้าหู้ยี่สำเร็จรูปพบว่า ในน้ำเต้าหู้ยี่มีปริมาณเกลือสูงกว่าในเนื้อ เช่นเดียวกับเต้าหู้ยี่ในกระบวนการหมัก (FSF1-FSF9) ยกเว้นตัวอย่าง CSF9 ที่มีปริมาณเกลือเท่ากัน ทั้งในน้ำและเนื้อเต้าหู้ยี่ ส่วนตัวอย่างเต้าหู้ยี่สำเร็จรูปที่มีปริมาณเกลือในน้ำสูงสุด คือ CSF4 (15.3%) และมีปริมาณเกลือในเนื้อสูงสุดคือ CSF8 (7.8%) ส่วนตัวอย่างเต้าหู้ยี่สำเร็จรูปที่มีปริมาณเกลือในเนื้อ มากสุด คือ CSF3 (14.0%) และมีปริมาณเกลือในเนื้อสูงสุด คือ CSF8 (7.3%) เต้าหู้ยี่สำเร็จรูปที่ได้จากกระบวนการหมัก CSF1 มีปริมาณเกลือลดลงเท่ากับ 10.1 % (น้ำ) และ 7.9% (เนื้อ) ทั้งนี้เนื่องจากในขั้นตอนบรรจุขวดและฆ่าเชื้อจะมีการเติมน้ำและน้ำตาลโอนด



รูปที่ 29 เปอร์เซ็นต์เกลือในน้ำและเนื้อของตัวอย่างเต้าหู้ยี่ในกระบวนการหมัก



## 10. การตรวจหาปริมาณแร่ธาตุ

เนื่องจากอาหารแต่ละชนิด จะมีองค์ประกอบของแร่ธาตุต่างๆ แตกต่างกัน ขึ้นกับวัตถุดิบที่นำมาใช้ และจากการตรวจหาปริมาณแร่ธาตุ จำนวน 12 ชนิด ในเต้าหู้ยี้สำเร็จรูป โดยมี CSF1 เป็นเต้าหู้ยี้สำเร็จรูปที่หมักแบบดั้งเดิมเป็นตัวอย่างควบคุมเพื่อเปรียบเทียบกับเต้าหู้ยี้สำเร็จรูปอื่นๆ อีก 5 ตัวอย่าง CSF2, CSF3, CSF6, CSF8 และ CSF9 (ตารางที่ 11) ผลการตรวจวิเคราะห์พบว่า สามารถจัดชนิดและปริมาณแร่ธาตุที่มีอยู่ในเต้าหู้ยี้สำเร็จรูปได้ 3 กลุ่ม ดังนี้

1. กลุ่ม A ได้แก่ Mg และ Ca ที่มีปริมาณมากเป็นอันดับที่ 1 โดย CSF1 มีปริมาณ Mg และ Ca เท่ากับ 479.74 และ 153.42 mg/kg ตามลำดับ

2. กลุ่ม B ได้แก่ Li, Fe, Cu, Mn, Zn และ Al มีปริมาณมากอันดับ 2 ( $<30 \text{ mg/kg}$ ) โดยมีแร่ธาตุ 3 ชนิด ที่เป็นตัวบ่งชี้คุณภาพของเต้าหู้ยี้ ได้แก่ Fe, Zn, และ Al โดยตัวอย่างควบคุม CSF1 มีปริมาณ Fe, Zn และ Al เท่ากับ 7.21, 1.93 และ 1.87 mg/kg ตามลำดับ แต่ CSF2 มีปริมาณ Fe (23.88 mg/kg), Zn (7.35 mg/kg), และ Al (10.40 mg/kg) ซึ่งมากกว่าปริมาณที่มีใน CSF1 3.21 เท่า, 3.81 เท่า และ 5.56 เท่า ตามลำดับ ส่วน CSF3 มีปริมาณ Fe และ Al มากกว่า CSF1 2.19 เท่า และ 2.66 เท่า ตามลำดับ และตัวอย่าง CSF8 มีปริมาณ Zn และ Al มากกว่า CSF1 2.46 เท่า และ 3.28 เท่า

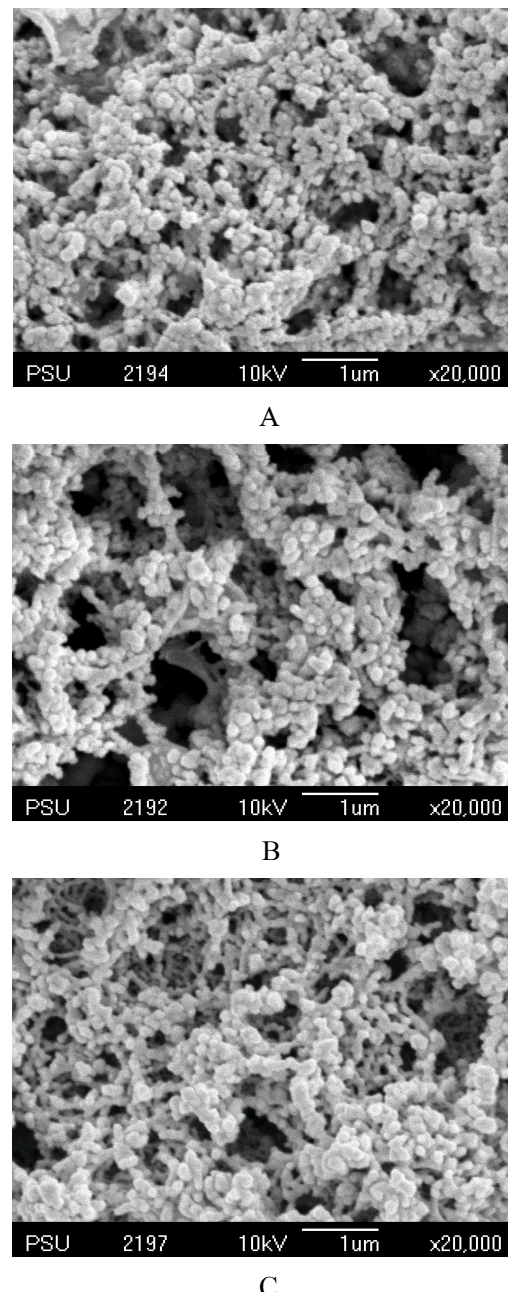
3. กลุ่ม C ได้แก่ Pb, Cd, As และ Ni มีปริมาณ  $<1\text{mg/kg}$  ซึ่งแสดงถึงการปนเปื้อนสารพิษจากลิ่งแวดล้อม

**ตารางที่ 12 ชนิดและปริมาณแร่ธาตุในตัวอย่างเด็กหญิงสำเร็จรูป**

แร่ธาตุ	ปริมาณแร่ธาตุ (mg/kg)					
	CSF1	CSF2	CSF3	CSF6	CSF8	CSF9
Mg	479.740	174.300	2295.300	551.210	141.100	185.620
Ca	153.420	174.500	334.390	202.050	132.080	1159.680
Li	23.050	1.500	29.150	30.060	1.340	12.460
Fe	7.210	23.880	15.770	7.250	8.970	8.600
Cu	2.840	0.880	2.850	2.990	0.430	2.750
Mn	2.310	5.000	2.810	3.660	3.260	3.360
Zn	1.930	7.350	2.350	2.360	4.750	1.950
Al	1.870	10.400	4.970	2.040	6.140	3.220
Ni	0.100	0.120	0.100	0.240	0.090	0.160
As	0.050	0.010	0.090	0.040	0.001	0.007
Pb	0.020	0.040	0.020	0.020	0.030	0.002
Cd	0.010	0.020	0.010	0.010	0.020	0.002

## 11. SEM ของเนื้อเต้าหู้

การตรวจโครงสร้างของเนื้อเต้าหู้ (วัตถุคิด) เต้าหู้ยี่สำเร็จรูปชนิดเหลือง (CSF1) และเต้าหู้ยี่แดง (CSF3) โดยใช้กล้องจุลทรรศน์อิเลคตรอนชนิด scanning electron microscope (SEM) (รูปที่ 31) พบว่าเนื้อเต้าหู้วัตถุคิดก่อนหมัก มีโครงสร้างของเนื้อเต้าหู้หนาแน่นเป็นแบบ filamentous gel structure ซึ่งเกิดจากน้ำนมถั่วเหลืองดิบเป็น native protein ที่ไม่เกาะกลุ่ม (non-aggregated native protein) เมื่อต้มนมถั่วเหลืองโปรตีนจะเกาะกลุ่มเป็นสายยาว (filament formation) และเมื่อเติม  $\text{Ca}^{++}/\text{Mg}^{++}$  ทำให้น้ำเต้าหู้แข็งตัวเป็น soybean curd (filamentous gel structure) โดย  $\text{Ca}^{++}/\text{Mg}^{++}$  เป็นตัวชี้อมระหว่างสายโปรตีนตรงตำแหน่ง carboxylic group (Kao, 2003) และเมื่อผ่านกระบวนการหมักที่มีเชื้อรา แบคทีเรีย และยีสต์ เป็นเวลา 9 เดือน พบว่า เนื้อเต้าหู้ยี่เหลือง (CSF1) มีรูพรุนขนาดใหญ่และจำนวนมากกว่า เมื่อเปรียบเทียบกับเนื้อเต้าหู้ที่ยังไม่ได้หมัก ส่วนเนื้อเต้าหู้ยี่แดง (CSF3) อนุภาคโปรตีนจับกันหนาแน่นกว่าและมีรูพรุนน้อยกว่าเต้าหู้ยี่เหลือง



รูปที่ 31 SEM ของก้อนเต้าหู้ที่ยังไม่ได้หมัก (A), ก้อนเต้าหู้ที่เหลืองสำเร็จรูป อ. เมือง จ. สงขลา (B) และก้อนเต้าหู้ที่เหลืองสำเร็จรูป จากประเทศไทย (C)